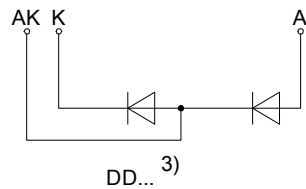
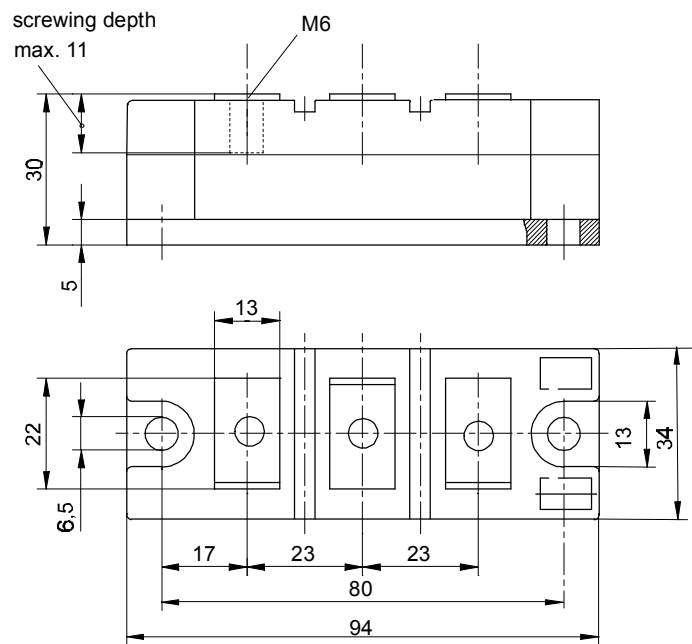


European Power-
Semiconductor and
Electronics Company
GmbH + Co. KG

Marketing Information DD 171 N

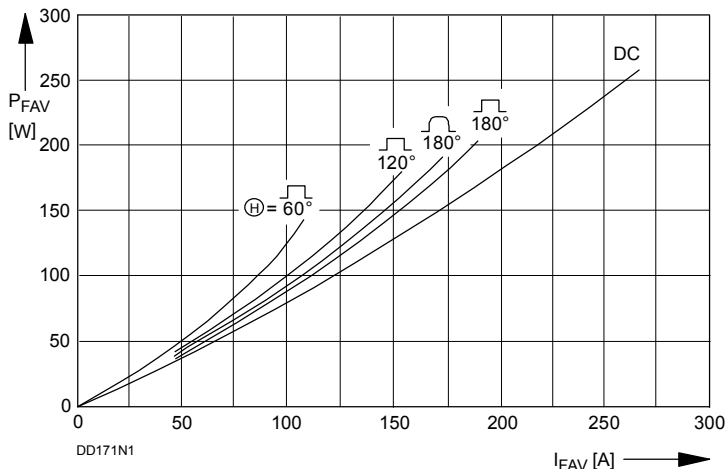


March 1998

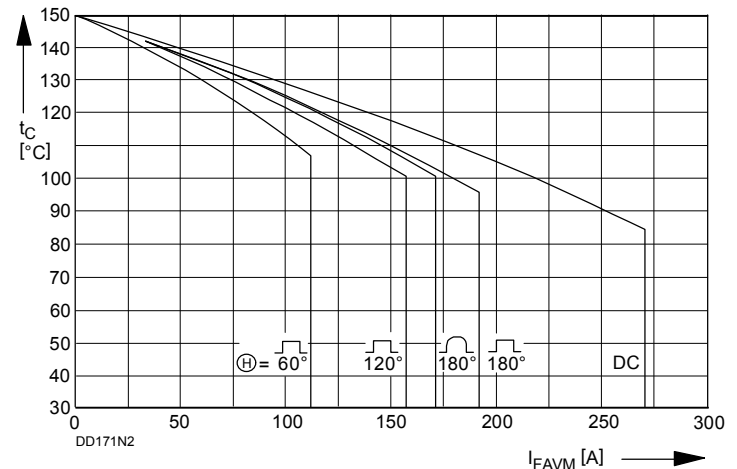
DD 171 N

Elektrische Eigenschaften						Electrical properties					
<i>Höchstzulässige Werte</i>						<i>Maximum rated values</i>					
Periodische Spitzensperrspannung	repetitive peak reverse voltage	$t_{vj} = -40^\circ\text{C} \dots t_{vj \max}$	V_{RRM}	600	800	1200	V				
				1400	1600	1800					
Stoßspitzensperrspannung	non-repetitive peak reverse voltage	$t_{vj} = +25^\circ\text{C} \dots t_{vj \max}$	V_{RSM}	700	900	1300	V				
				1500	1700	1900					
Durchlaßstrom-Grenzeffektivwert	RMS forward current		I_{FRMSM}			270	A				
Dauergrenzstrom	mean forward current	$t_c = 100^\circ\text{C}$	I_{FAVM}			170	A				
Stoßstrom-Grenzwert	surge forward current	$t_{vj} = 25^\circ\text{C}, t_p = 10 \text{ ms}$	I_{FSM}			6,6	kA				
		$t_{vj} = t_{vj \max}, t_p = 10 \text{ ms}$				5,6	kA				
Grenzlastintegral	$I^2 t$ -value	$t_{vj} = 25^\circ\text{C}, t_p = 10 \text{ ms}$	$I^2 t$			218 . 10 ³	$A^2 s$				
		$t_{vj} = t_{vj \max}, t_p = 10 \text{ ms}$				157 . 10 ³	$A^2 s$				
<i>Charakteristische Werte</i>						<i>Characteristic values</i>					
Durchlaßspannung	forward voltage	$t_{vj} = t_{vj \max}, i_F = 500 \text{ A}$	v_F	max.	1,26		V				
Schleusenspannung	threshold voltage	$t_{vj} = t_{vj \max}$	$V_{T(TO)}$		0,75		V				
Ersatzwiderstand	forward slope resistance	$t_{vj} = t_{vj \max}$	r_T		0,8		$m\Omega$				
Sperrstrom	reverse current	$t_{vj} = t_{vj \max}, v_R = V_{RRM}$	i_R	max.	20		mA				
Isolations-Prüfspannung	insulation test voltage	RMS, $f = 50 \text{ Hz}, t = 1 \text{ min}$	V_{ISOL}		2,5		kV				
Thermische Eigenschaften						Thermal properties					
Innerer Wärmewiderstand	thermal resistance, junction to case	pro Modul/per module, $\Theta = 180^\circ \text{ sin}$ pro Zweig/per arm, $\Theta = 180^\circ \text{ sin}$ pro Modul/per module, DC pro Zweig/per arm, DC	R_{thJC}	max.	0,130	$^\circ\text{C}/W$					
				max.	0,260	$^\circ\text{C}/W$					
				max.	0,126	$^\circ\text{C}/W$					
				max.	0,252	$^\circ\text{C}/W$					
Übergangs-Wärmewiderstand	thermal resistance, case to heatsink	pro Modul/per module pro Zweig/per arm	R_{thCK}	max.	0,03	$^\circ\text{C}/W$					
				max.	0,06	$^\circ\text{C}/W$					
Höchstzul. Sperrsichttemperatur	max. junction temperature	$t_{vj \max}$			150	$^\circ\text{C}$					
Betriebstemperatur	operating temperature	$t_{c op}$			-40...+150	$^\circ\text{C}$					
Lagertemperatur	storage temperature	t_{stg}			-40...+150	$^\circ\text{C}$	²⁾				
Mechanische Eigenschaften						Mechanical properties					
Gehäuse, siehe Seite	case, see page										1
Si-Element mit Druckkontakt	Si-pellet with pressure contact										
Innere Isolation	internal insulation										AlN
Anzugsdrehmoment für mechanische Befestigung	mounting torque	Toleranz/tolerance +/- 15%	$M1$		6	Nm					
Anzugsdrehmoment für elektrische Anschlüsse	terminal connection torque	Toleranz/tolerance +5%/-10%	$M2$		6	Nm					
Gewicht	weight		G	typ.	310	g					
Kriechstrecke	creepage distance				15	mm					
Schwingfestigkeit	vibration resistance	$f = 50 \text{ Hz}$			50	m/s^2					

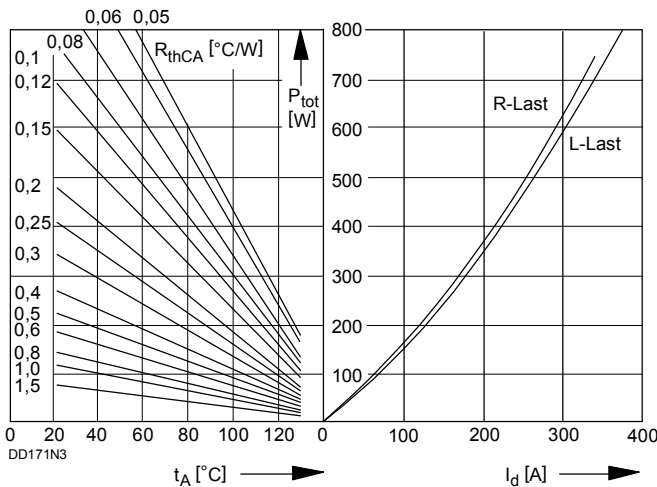
²⁾ Gemäß DIN IEC 749 mit 747-1 gilt eine Zeitbegrenzung von 672 h. Für die im Betrieb auftretende Gehäusetemperatur gilt keine zeitliche Begrenzung. / According to DIN IEC 749 with 747-1 a time-limit of 672 h is defined. There is no time-limit set for case temperature during operation.



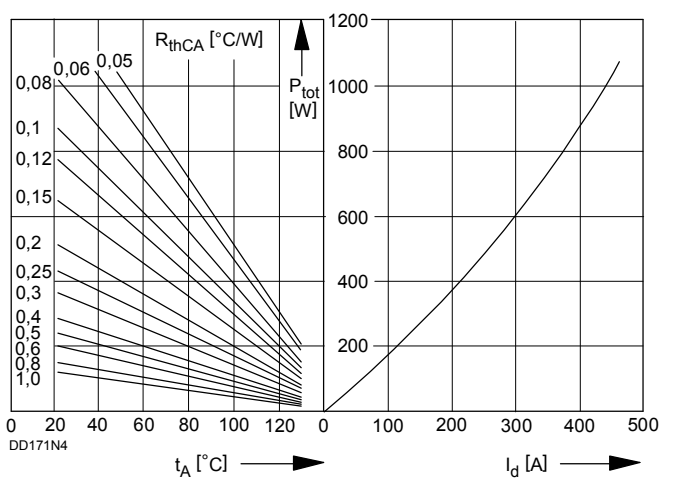
Bild/Fig. 1
Durchlaßverlustleistung P_{FAV} eines Zweiges
Forward power loss P_{FAV} per arm



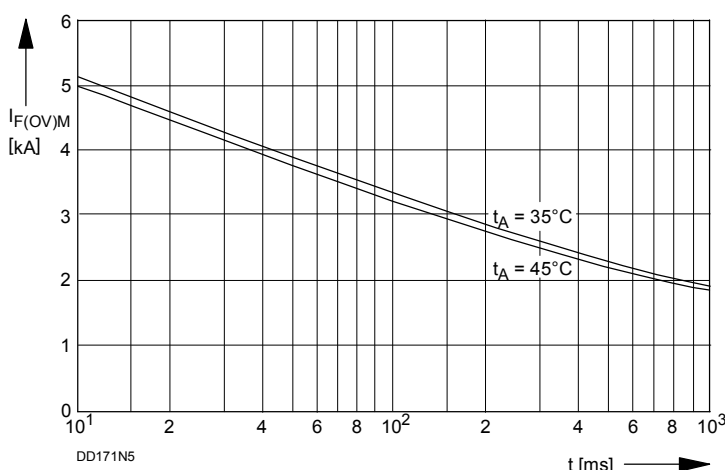
Bild/Fig. 2
Höchstzulässige Gehäusetemperatur t_C in Abhängigkeit vom Zweigstrom
Maximum allowable case temperature t_C versus current per arm



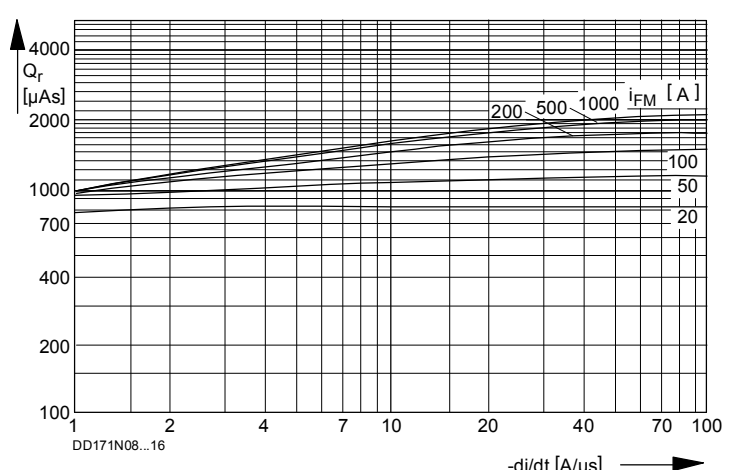
Bild/Fig. 3
B2 - Zweipuls-Brückenschaltung. Höchstzulässiger Ausgangstrom I_d in Abhängigkeit von der Umgebungstemperatur t_A .
B2 - Two-pulse bridge circuit. Maximum allowable output current I_d versus ambient temperature t_A .
Parameter: Wärmewiderstand zwischen Powerblock und Umgebung/
thermal resistance case to ambient R_{thCA}



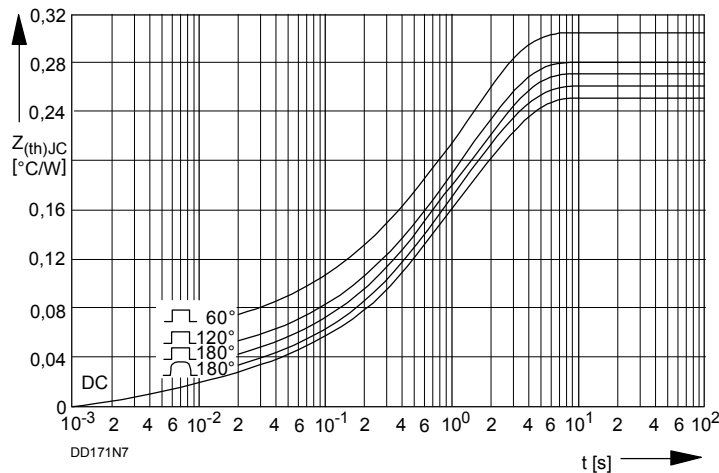
Bild/Fig. 4
B6 - Sechspuls-Brückenschaltung. Höchstzulässiger Ausgangstrom I_d in Abhängigkeit von der Umgebungstemperatur t_A .
B6 - Six-pulse bridge circuit. Maximum allowable output current I_d versus ambient temperature t_A .
Parameter: Wärmewiderstand zwischen Powerblock und Umgebung/
thermal resistance case to ambient R_{thCA}



Bild/Fig. 5
Grenzstrom je Zweig $I_{F(OV)M}$ bei Luftselbstkühlung, $t_A=45^\circ\text{C}$ und verstärkter
Luftkühlung, $t_A=35^\circ\text{C}$, Belastung nach Leerlauf, $V_{RM} = 0.8 V_{RRM}$.
Limiting overload on-state current per arm $I_{F(OV)M}$ at natural ($t_A=45^\circ\text{C}$) and forced ($t_A=35^\circ$) cooling, current surge under no-load conditions,
 $V_{RM} = 0.8 V_{RRM}$.



Bild/Fig. 6
Sperrverzögerungsladung / Recovered charge $Q_r = f(-di/dt)$
 $t_{vj} = t_{vj \max}$, $V_R \leq 0.5 V_{RRM}$, $V_{RM} = 0.8 V_{RRM}$
Parameter: Durchlaßstrom / Forward current i_{FM}



Bild/Fig. 7

Transienter innerer Wärmewiderstand je Zweig $Z_{(th)JC}$.
Transient thermal impedance, junction to case, per arm $Z_{(th)JC}$.

Analytische Elemente des transienten Wärmewiderstandes Z_{thJC} pro Zweig für DC
Analytical elements of transient thermal impedance Z_{thJC} per arm for DC

Pos. n	1	2	3	4	5	6	7
$R_{thn} [\text{°C/W}]$	0,0094	0,0224	0,0586	0,162			
$\tau_n [\text{s}]$	0,0014	0,0253	0,267	1,68			

Analytische Funktion / Analytical function:

$$Z_{thJC} = \sum_{n=1}^{n_{\max}} R_{thn} (1 - e^{-\frac{t}{\tau_n}})$$